

Diferencias imagenológicas en Tomografía Computada de las neumonías producidas por patógenos virales, bacterianos y por COVID – 19, una revisión sistemática

Figura 1: Diagrama de flujo de la selección de los artículos utilizados en la investigación.

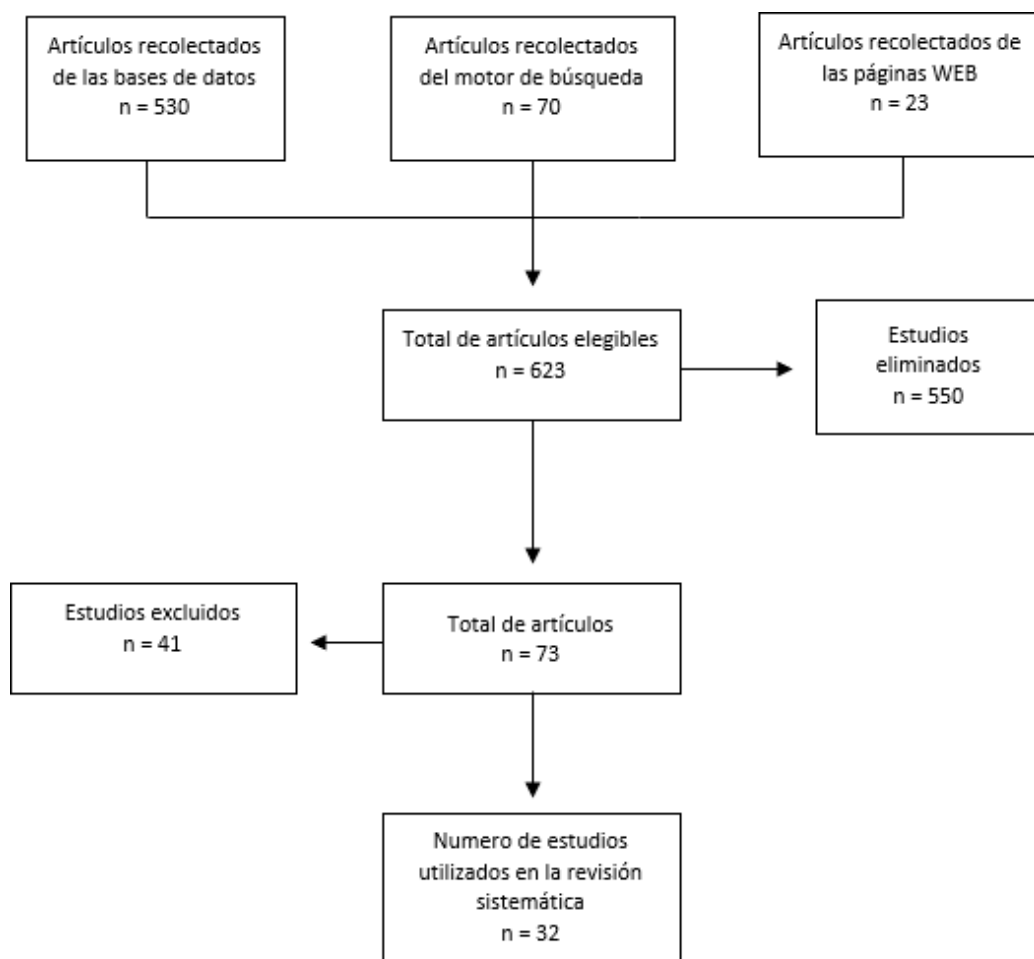


Figura 2: Diagrama de flujo de los signos radiológicos en Tomografía computada, según el tipo de agente patógeno.

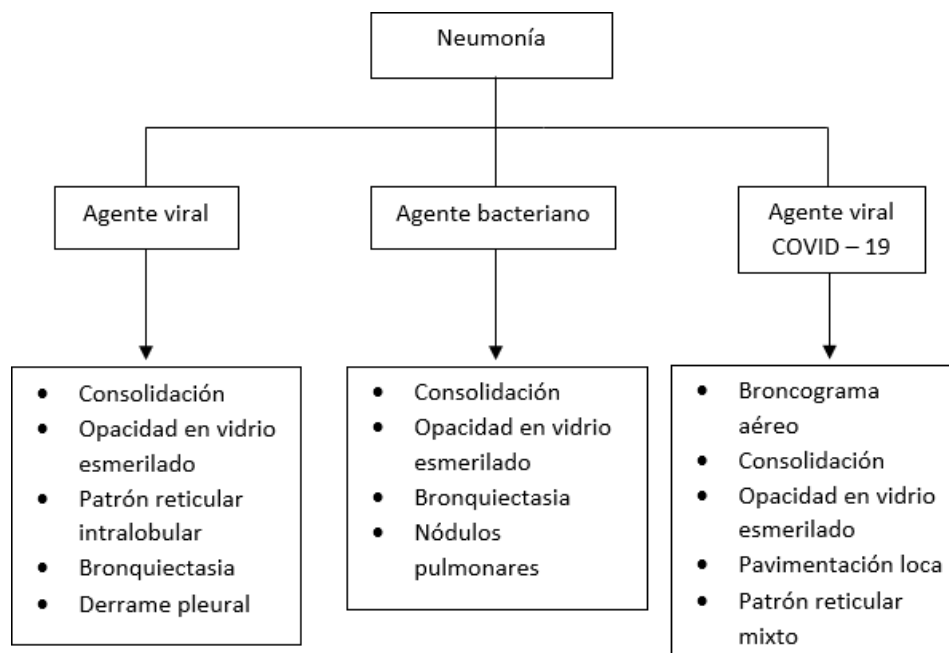


Tabla 1: Signos radiológicos en tomografía computada presentes en una neumonía viral, según los distintos autores.

Autores	Signos radiológicos				
	Opacidad en vidrio esmerilado	Consolidación	Patrón reticular interlobular (intralobular)	Bronquiectasia	Derrame pleural
Koo et al ⁷	x	x		x	x
Li et al ⁸	x	x	x	x	x
Hammer et al ⁹	x	x	x	x	
Li et al ¹⁰	x	x	x	x	
Chong et al ¹¹	x	x	x		
Franquet ¹²	x	x	x		x
Amorim et al ¹³	x	x	x		

Tabla 2: Ubicación de la lesión que se produce en una neumonía viral según los autores.

Autores	Ubicación de la lesión						
	Distribución en la región pulmonar		Distribución craneocaudal		Distribución transversal		
	Unilateral	Bilateral	Ápices pulmonares	Bases pulmonares	Central	Periférico	Mixto
Koo et al ⁷		X		X			X
Li et al ⁸		X		X			X
Hammer et al ⁹	NM	NM	NM	NM	X		
Li et al ¹⁰		X	NM	NM	NM	NM	NM
Chong et al ¹¹		X	X	X			X
Franquet ¹²		X	NM	NM			X
Amorim et al ¹³		X	SDE	SDE	SDE	SDE	SDE

NM: no se menciona; SDE: sin diferencia específica

Tabla 3: Signos radiológicos en tomografía computada presentes en una neumonía bacteriana, según los distintos autores.

Autores	Signos radiológicos			
	Consolidación	Opacidad en vidrio esmerilado	Bronquiectasia	Nódulos pulmonares
Koo et al ¹⁴	X	X	X	
Baghizadeh et al ¹⁵	X		X	X
Von Ranke et al ¹⁶	X	X		X
Beyer y Wormanns ¹⁷	X	X	X	
Jun et al ¹⁸	X	X		X
Franquet ¹²	X	X		
Kunihiro et al ¹⁹	X	X		X

Tabla 4: Ubicación de la lesión que se produce en una neumonía bacteriana según los autores.

Autores	Ubicación de la lesión						
	Distribución en la región pulmonar		Distribución craneocaudal		Distribución transversal		
	Unilateral	Bilateral	Ápices pulmonares	Bases pulmonares	Central	Periférico	Mixto
Koo et al ¹⁴	NM	NM	X		NM	NM	NM
Baghizadeh et al ¹⁵	NM	NM	X	X	NM	NM	NM
Von Ranke et al ¹⁶		X	X	X		X	
Beyer y Wormanns ¹⁷	NM	NM	NM	NM	NM	NM	NM
Jun et al ¹⁸		X	NM	NM	NM	NM	NM
Franquet ¹²	NM	NM	X	X			X
Kunihiro et al ¹⁹	NM	NM		X			X

NM: no se menciona

Tabla 5: Signos radiológicos presentes en una neumonía por COVID-19 según los distintos autores.

Autores	Signos radiológicos				
	Broncograma aéreo	Consolidación	Opacidad en vidrio esmerilado	Pavimentación loca	Patrón reticular mixto
Bernheim et al ²⁰		X	X	X	
Bai et al ²¹			X		X
Pan et al ²²		X	X		X
Song et al ²³	X	X	X		X
Pan y Guan ²⁴		X	X		
Caruso et al ²⁵			X	X	X
Han et al ²⁶	X	X	X	X	
Cheng et al ²⁷		X	X		X
Li y Xia ²⁸	X	X	X	X	X
Zhou et al ²⁹	X	X	X	X	X
Li et al ³⁰	X		X	X	
Chen et al ³¹		X	X	X	X
Iwasawa et al ³²		X	X	X	X
Yang et al ³³		X	X		X
Zhao et al ³⁴		X	X		
Salehi et al ³⁵	X	X	X	X	X
Li et al ⁸		X	X	X	
Kooraki et al ³⁶		X	X		

Tabla 6: Ubicación de la lesión que se produce en una neumonía por COVID-19 según los autores.

Autores	Ubicación de la lesión						
	Distribución en la región pulmonar		Distribución craneocaudal		Distribución transversal		
	Unilateral	Bilateral	Ápices pulmonares	Bases pulmonares	Central	Periférico	Mixto
Bernheim et al ²⁰		X		X		X	
Bai et al ²¹		X	X	X		X	
Pan et al ²²		X	X	X	NM	NM	NM
Song et al ²³		X	X	X		X	
Pan y Guan ²⁴		X	X	X	NM	NM	NM
Caruso et al ²⁵		X		X		X	
Han et al ²⁶		X		X		X	
Cheng et al ²⁷		X		X		X	
Li y Xia ²⁸		X		X		X	
Zhou et al ²⁹	NM	NM	NM	NM			X
Li et al ³⁰		X	NM	NM		X	
Chen et al ³¹		X		X			X
Iwasawa et al ³²		X	X	X		X	
Yang et al ³³		X	NM	NM		X	
Zhao et al ³⁴		X		X		X	
Salehi et al ³⁵	X		NM	NM		X	
Li et al ⁸	X		X	X		X	
Kooraki et al ³⁶	X		NM	NM	NM	NM	NM

NM: No se menciona.

Figura 3: Diferencias de las neumonías producidas por distintos agentes patógenos.

